

6 - 4 中国地方とその周辺の地震活動 (1986年5月 - 10月)

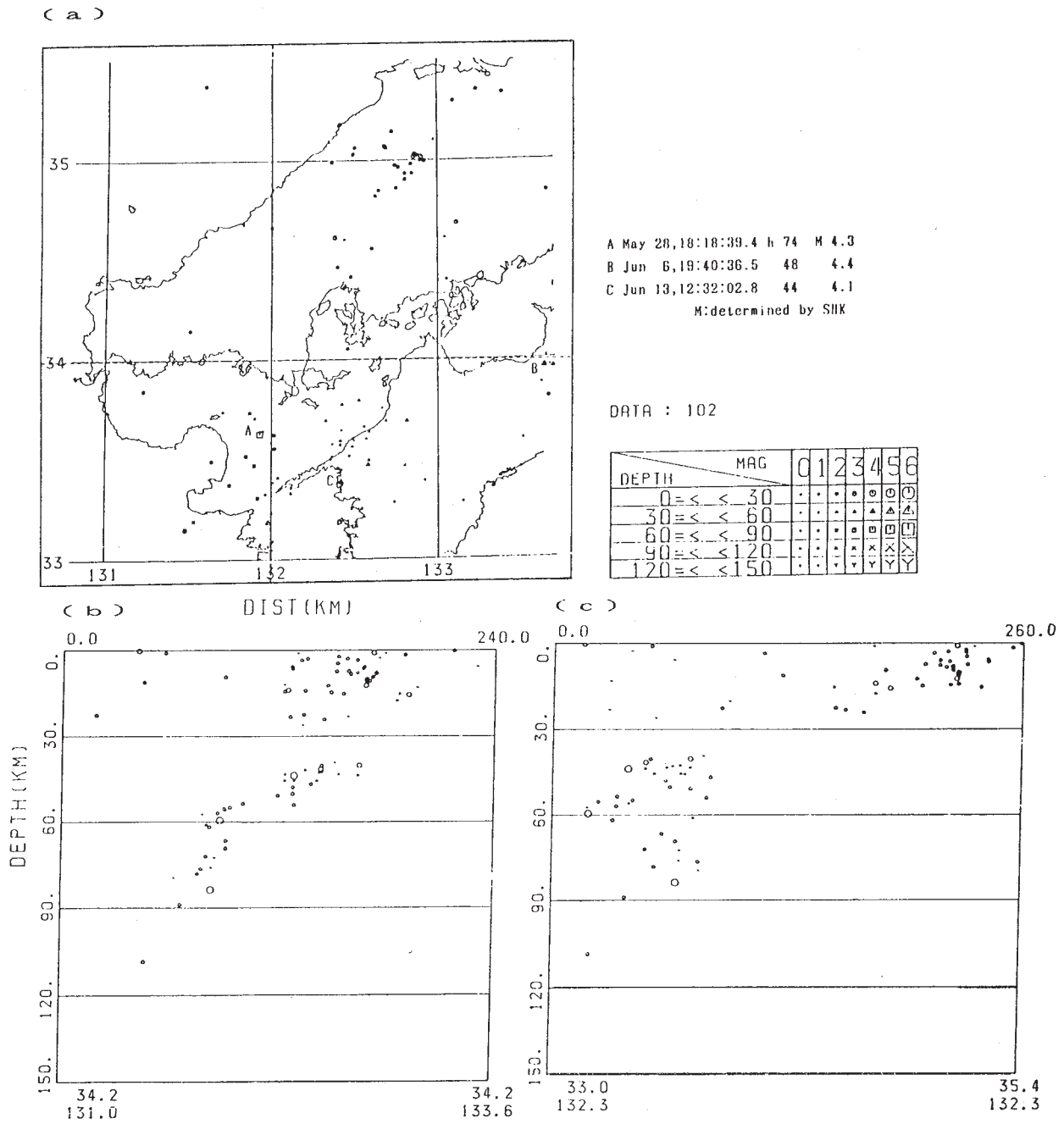
Recent Seismic Activity in and around Chugoku District (May - October, 1986)

東京大学地震研究所

白木微小地震観測所

Shiraki Microearthquake Observatory
Earthquake Research Institute, University of Tokyo

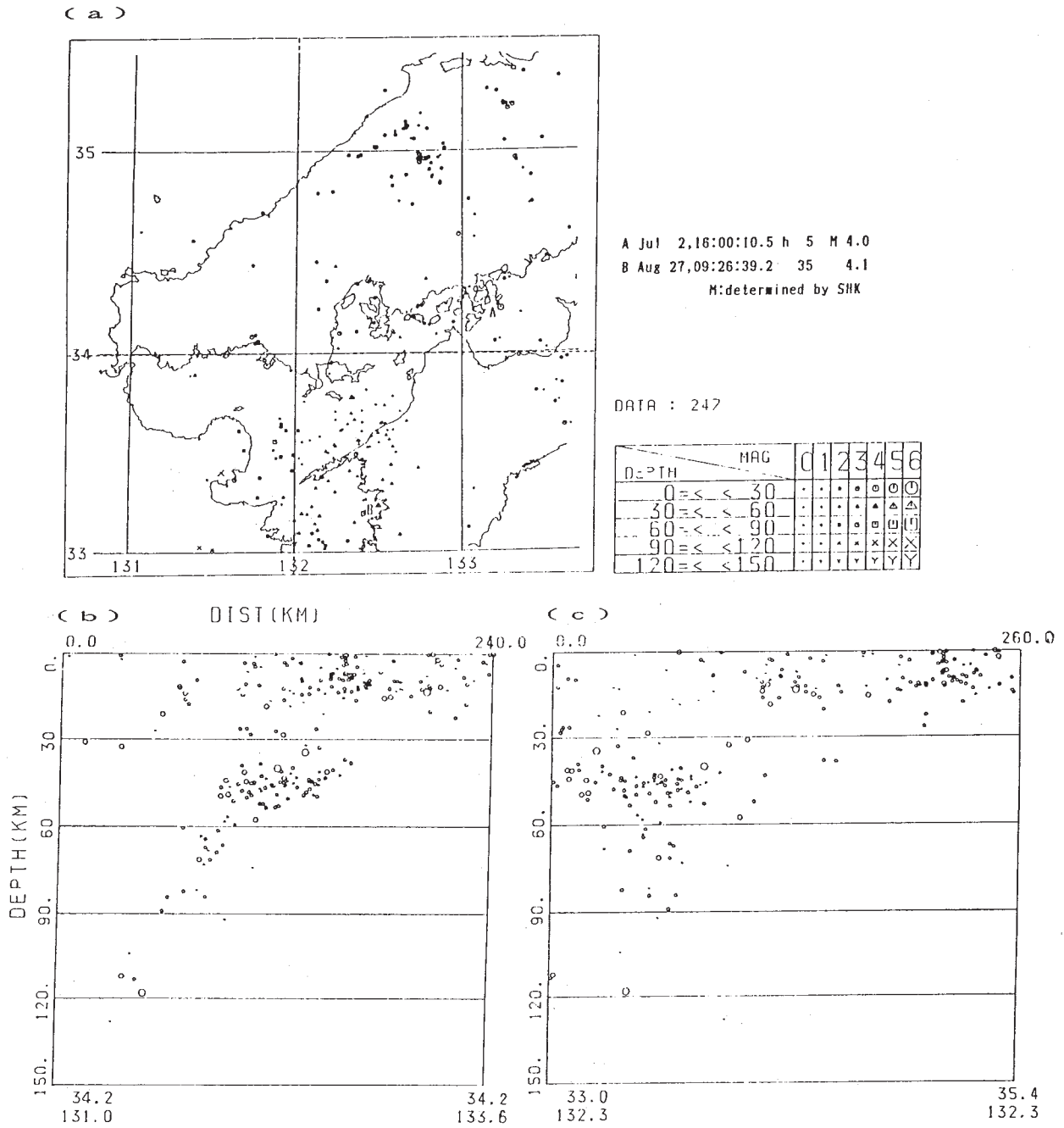
当観測所によって震源決定された結果を、1986年5月から2箇月毎に第1図、第2図、第3図に示す。5月6月の期間には、第1図(a)に示すA, B, Cに、それぞれ最大震度I(広島) II(福山), II(宇和島)の3箇の有感地震があったに過ぎず、震源決定されたものも102箇で地震活動は低い。7月8月の2箇月には、第2図(a)に示すA, Bにそれぞれ最大震度I(宇和島), I(宇和島)の2箇の有感地震のみが発生し、震源決定された地震は前の期間より増加し247箇であったが、特筆すべき活動はない。第3図の9月10月の期間には、有感地震はなく、震源決定された地震は251箇であるが、特筆すべき異常な地震活動はない。第4図には、以上の1986年5月 - 10月の期間の600箇の地震をまとめて示した。要するに、この半年間、中国地方とその周辺地域には特筆すべき地震活動はなく、定常的な活動であったといえる。



第 1 図 1986 年 5 月 - 6 月の地震活動

- (a) 震央分布図
- (b) 震源分布の東西断面図
- (c) 震源分布の南北断面図

Fig. 1 Seismic activity in and around Chugoku District (May - June, 1986).
 (a) Epicenter distribution.
 (b) East-west cross section of hypocenters.
 (c) North-south cross section of hypocenters.

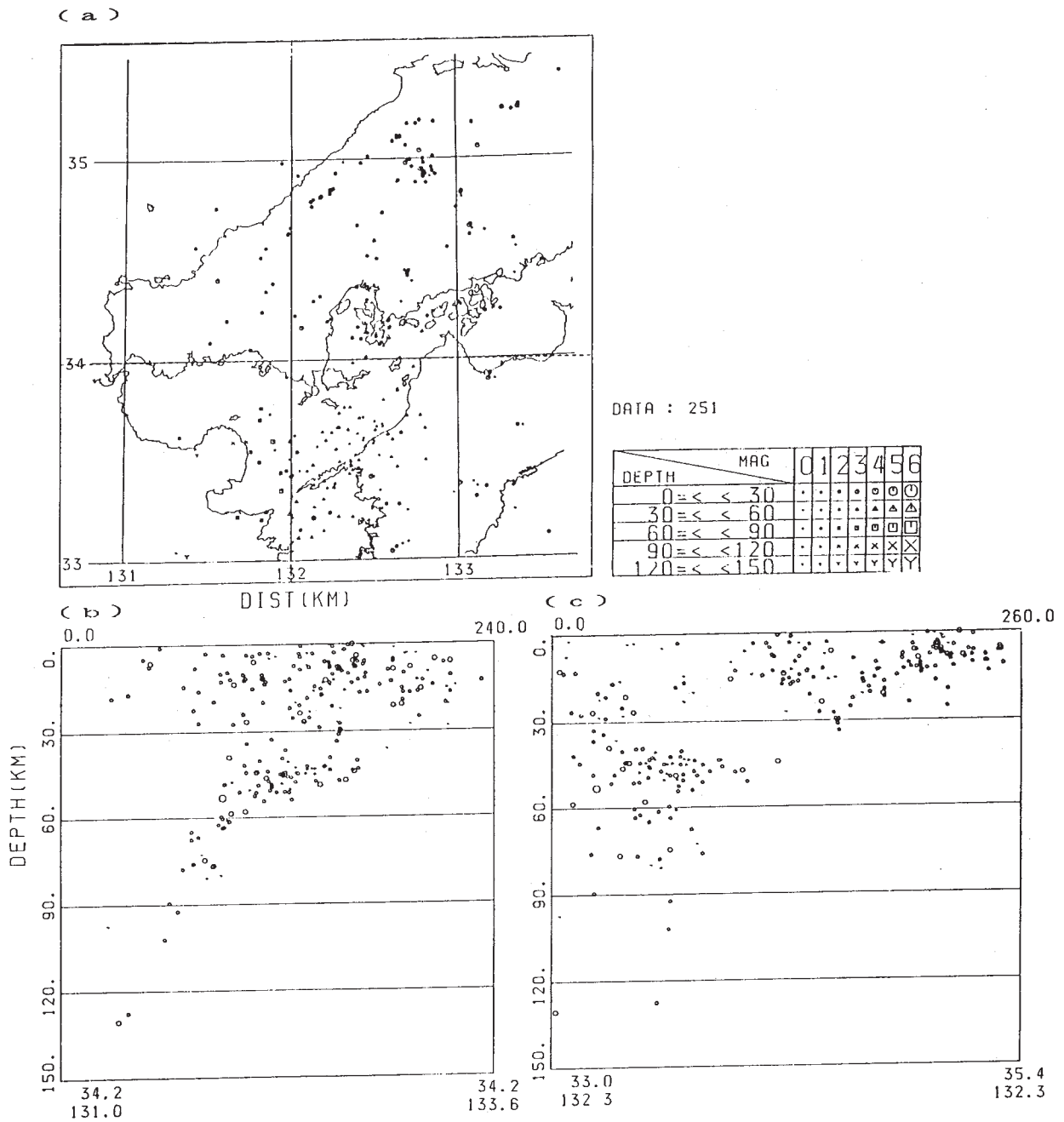


第 2 図 1986 年 7 月 - 8 月の地震活動

- (a) 震央分布図
- (b) 震源分布の東西断面図
- (c) 震源分布の南北断面図

Fig. 2 Seismic activity in and around Chugoku District (July - August, 1986).

- (a) Epicenter distribution.
- (b) East-west cross section of hypocenters.
- (c) North-south cross section of hypocenters.

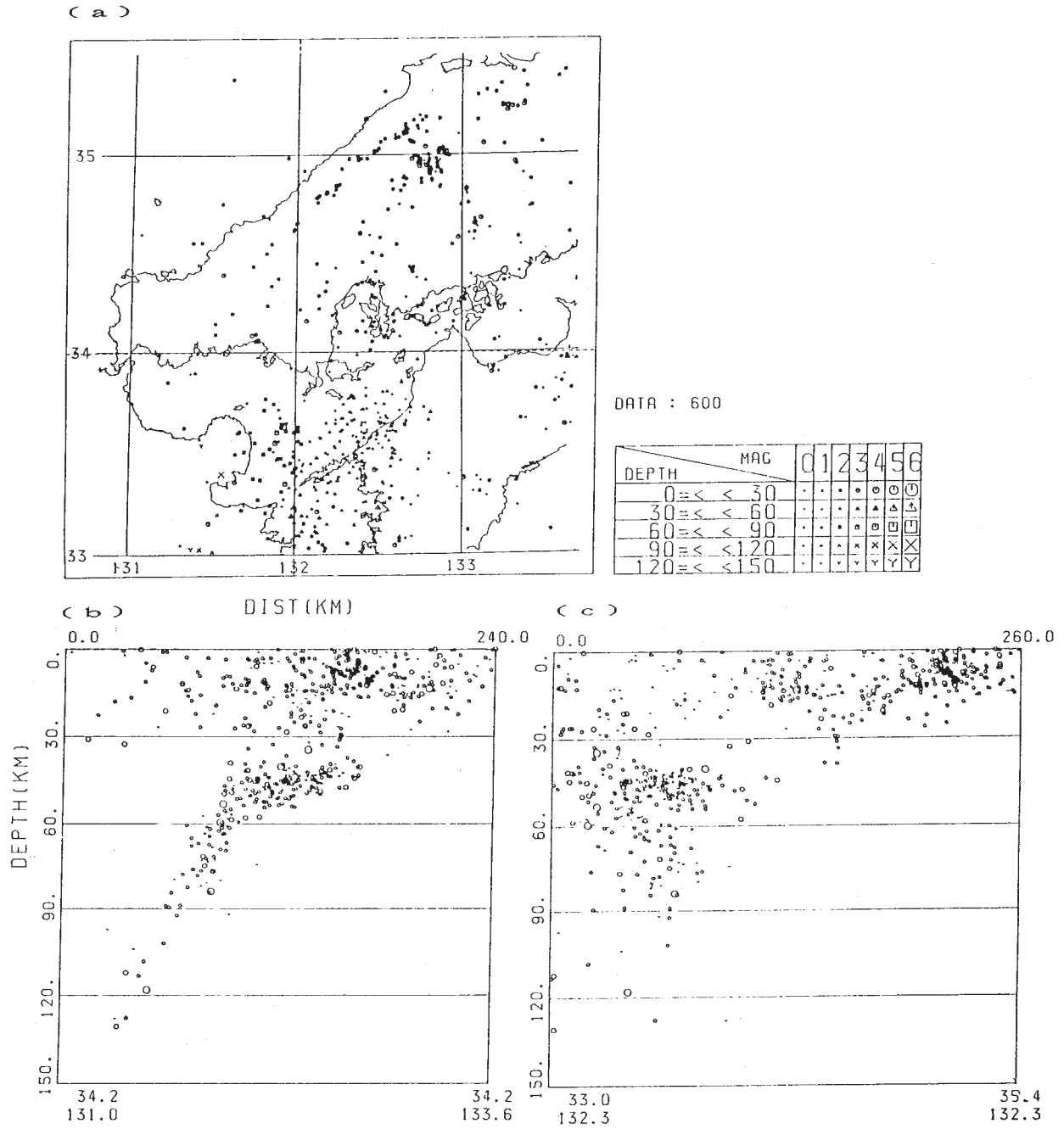


第3図 1986年9月-10月の地震活動

- (a) 震央分布図
- (b) 震源分布の東西断面図
- (c) 震源分布の南北断面図

Fig. 3 Seismic activity in and around Chugoku District (September -October,1986).

- (a) Epicenter distribution.
- (b) East-west cross section of hypocenters.
- (c) North-south cross section of hypocenters.



第 4 図 1986 年 5 月 - 10 月の地震活動

- (a) 震央分布図
- (b) 震源分布の東西断面図
- (c) 震源分布の南北断面図

Fig.4. Seismic activity in and around Chugoku District (May - October,1986).
 (a) Epicenter distribution.
 (b) East-west cross section of hypocenters.
 (c) North-south cross section of hypocenters.